

Cu-Zn 훼라이트의 자기적 성질 *

이충섭·이찬영

부산수산대학교 물리학과

김철성·지상희

국민대학교 물리학과

(1993년 2월 12일 발음)

$\text{Cu}_x\text{Zn}_{1-x}\text{Fe}_2\text{O}_4$ ($0 \leq x \leq 1$)의 이온분포 및 자기적 성질을 X-선 회절법과 Mössbauer 분광법으로 연구하였다. 결정구조는 $0 \leq x \leq 0.9$ 의 영역에서 임방 스피넬이다. ZnFe_2O_4 의 이온분포는 $(\text{Zn}_{1-x}\text{Fe}_x)_A[\text{Zn}_x\text{Fe}_{2-x}]_B\text{O}_4$; $x=0.1$ 이다. Curie 온도 이하의 Mössbauer spectrum에서 Fe^{3+} 이온의 분포상태를 $0 \leq x \leq 1$ 의 전 영역에서 얻었다. Cu의 농도 x 가 증가함에 따라서 사면체자리에 들어가는 Fe^{3+} 이온의 수가 증가하고 Cu-Zn 훼라이트의 Curie 온도가 높아진다.

I. 서 론

스피넬 구조의 훼라이트 AB_2O_4 에서, A-자리(사면체자리)에 들어있는 자성원자와 B-자리(팔면체자리)에 들어있는 자성원자 사이의 A-B 상호작용이 A-A와 B-B 상호작용보다 훨씬 강하다[1]. Zn-Ni [1, 2], Zn-Ge [3, 4], Cu-Ge [5, 6] 훼라이트 등의 혼합훼라이트에 관한 연구는 자성원자가 A-자리와 B-자리를 차지하는 비율에 따른 훼라이트의 자기적 및 전기적 성질을 규명하고 응용하는데 중요하다. $\text{Cu}_x\text{Zn}_{1-x}\text{Fe}_2\text{O}_4$ ($0 \leq x \leq 1$)에 대한 연구는 Patil 등에 의한 실온에서의 Mössbauer 측정[7] 및 Evans 등에 의한 $x=0.5$, 온도 4.2 K에서의 Mössbauer 측정[8]이 모두이다. 이를 측정으로는 이온분포를 정확하게 알 수 없고 자성원자의 배치상태에 기인한 자기적 성질도 명확하지 않다.

본 연구에서는 스피넬 구조 $\text{Cu}_x\text{Zn}_{1-x}\text{Fe}_2\text{O}_4$ ($0 \leq x \leq 1$)의 자기적 성질을 이해하기 위하여 X-선 회절법과 Mössbauer 분광법에 의하여 정확한 이온분포를 알아내고자 한다. 특히 Curie 온도 이하에서의 Mössbauer

spectrum을 분석하여 얻은 상대적 세기로부터 Fe원자가 A-자리와 B-자리에 들어가는 비율을 알아낸다.

II. 실험사항

$\text{Cu}_x\text{Zn}_{1-x}\text{Fe}_2\text{O}_4$ ($0 \leq x \leq 1$)를 다음과 같이 직접합성법에 의하여 제조하였다. 순도가 99.995%, 99.999%, 99.999%인 Fe_2O_3 , CuO , ZnO 를 적당 당량비로 혼합하여 수압기로 약 6000 kg/cm²의 압력을 가하여 암암보양(pellet)으로 만들어서, 1000 °C에서 4일간 가열하여 전기로 안에서 실온까지 식혀서 1차 시료를 만들었다. 최종시료는 1차 시료를 잘 분쇄하여 같은 방법으로 만들었다.

시료의 결정구조를 확인하기 위하여 Geiger Flex (RIGAKU) X-선 회절기로 $\text{CuK}\alpha$ 선을 사용하여 X-선 회절도를 얻었다. 이때 각 회절선의 분해능을 증가시키기 위하여, 2θ에 대한 scanning 속도를 분당 0.25도로 하였다.

Mössbauer spectrum은 전기역학적 등가속도형의 Mössbauer 분광기로 취하였으며, γ선원은 PdCo^{57} 을 확산시킨 10 mCi의 단일 선원을 사용하였고 실온을 유지하였다. 시료 두께의 균질성을 위하여 boron nitride 분말을 섞었으며 두께 0.005인치, 직경 1인치의 beryl-

* 이 논문은 1991년도 교육부지원 한국학술진흥재단의 자유공모(지방대학육성)과제 학술연구조성비에 의하여 연구되었음.

lium판을 양면에 막아서 사용하였다.

III. 결과 및 논의

Fig. 1은 상온에서 취한 $\text{Cu}_{0.9}\text{Zn}_{0.1}\text{Fe}_2\text{O}_4$ 의 X-선 회절도이다. $\text{Cu}_x\text{Zn}_{1-x}\text{Fe}_2\text{O}_4$ 는 $0 \leq x \leq 0.9$ 의 범위에서 입방 spinel 구조이며, 각 회절선에서 얻은 격자상수 $a(\theta)$ 를 Nelson-Riley 함수 [9]에 대하여 일차함수로 그릴 때 직선의 절편값, 즉 Nelson-Riley 함수값이 0이 되는 $a = a(90^\circ)$ 값을 최소제곱법으로 fitting하여 격자상수를 얻었다(Fig. 2 참조). 이와같이 얻은 각 x 에 대한 격자상수를 Fig. 3에 전시하였고 x 에 대하여 일차적으로 감소함을 알 수 있다. 이것은 spinel 구조의 사면체자리(A-자리)를 차지하던 Zn원자가 Cu원자로 대치됨을 의미하나 보다 정확한 결과는 중성자회절과 Mössbauer spectrum의 동시에 분석에 의하여 결정 될 수 있다. ZnFe_2O_4 ($x=0$)의 격자상수는 Evans 등[8]의 결과와 잘 일치한다.

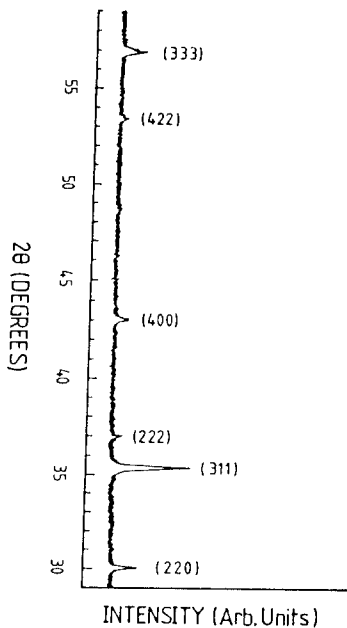


Fig. 1. X-ray diffraction pattern of $\text{Cu}_{0.9}\text{Zn}_{0.1}\text{Fe}_2\text{O}_4$ at R.T.

CuFe_2O_4 ($x=1$)의 경우는 각 회절선에 대하여 Bragg방정식($2d\sin\theta = \lambda$)을 이용하여 인접한 격자면 간격 d 를 계산하고 tetragonal[10]에 대한 식

$$\frac{I}{d^2} = \frac{h^2 + k^2}{a^2} + \frac{l^2}{c^2} \quad (1)$$

로 최소제곱법에 의하여 컴퓨터로 맞추어서 격자상수 $a = 5.819 \pm 0.002 \text{ \AA}$ 와 $c = 8.727 \pm 0.003 \text{ \AA}$ 를 얻었다. 4개 분자를 포함하는 단위세포와 8개의 분자를 포함하는 pseudospinell 구조의 단위세포와의 관계에서

$$\begin{aligned} a' &= \sqrt{2} \times a = 8.229 \pm 0.003 \text{ \AA} \\ c' &= c = 8.727 \pm 0.003 \text{ \AA} \end{aligned} \quad (2)$$

를 얻었고 이는 Ohabayashi 등[11]의 결과와 잘 일치한다. 체적환산에 의한 입방구조의 격자상수를 Fig. 3에 나타냈다.

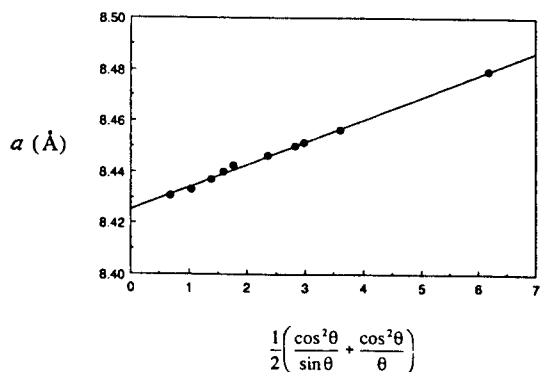


Fig. 2. Lattice parameter of $\text{Cu}_{0.4}\text{Zn}_{0.6}\text{Fe}_2\text{O}_4$ plotted against the Nelson-Riley function.

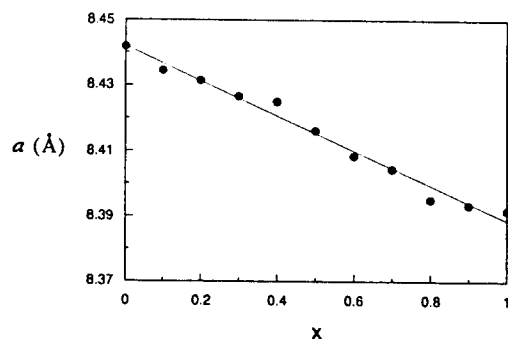


Fig. 3. Lattice parameters of $\text{Cu}_x\text{Zn}_{1-x}\text{Fe}_2\text{O}_4$ at R.T.

$\text{Cu}_x\text{Zn}_{1-x}\text{Fe}_2\text{O}_4$ ($0 \leq x \leq 1$)에서, CuFe_2O_4 ($x=1$)는 tetragonal이나 $x=0.9$ 이하의 전영역에서 입방 spinel 구조를 갖는다. 이는 CuFe_2O_4 가 약 760°C 이상에서 입방 spinel 구조라는 사실[11]에서 잘 이해 될 수 있다.

ZnFe_2O_4 ($x = 0$)의 Mössbauer spectrum은 12 K부터 실온까지 여러온도에서 측정되었으며 그 중 대표적인 것을 Fig. 4에 나타냈다. Néel 온도 이상에서의 분석은 이미 발표한바 있고[3], 실온에서의 이성질체이동, 전기 4중극자분열, 선폭은 각각 0.39 mm/s , 0.37 mm/s , 0.34 mm/s 로 이전의 결과와 일치하였다.

Fig. 4의 실온에 대한 spectrum에서, Fe원자는 +3가의 전하상태이고 A- 및 B-자리의 어느 한가지 자리에 들어가 있음을 알 수 있다. 즉, Fe 원자는 B-자리를 차지한다. 그러나 중성자회절 측정[12]에 의하여 Fe원자의 약 2.5%가 A-자리에 들어 있음을 보고한 바 있다. 이것을 확인하기 위하여 Néel온도 이하인 12 K에서의 spectrum을 아래의 계산결과와 비교하기 위하여 3쌍의 6-Lorentzian으로 비선형회귀 프로그램을 사용하여 data에 맞추었다.

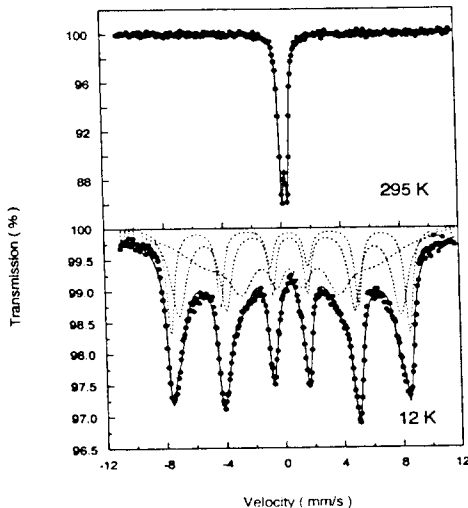


Fig. 4. Mössbauer spectra of ZnFe_2O_4

중성자회절에 의한 ZnFe_2O_4 의 이온분포는 $(\text{Zn}_{1-x}\text{Fe}_x)_A[\text{Zn}_x\text{Fe}_{2-x}]_B\text{O}_4$: $x = 0.05$ 이므로, B-자리의 Fe 원자가 가장 인접한 6개의 A-자리에 Fe원자를 가질 수 있는 확률은 아래와 같다.

$$P(n, x) = \binom{6}{n} x^n (1-x)^{6-n} \quad (3)$$

여기서 x 는 A-자리에 들어있는 Fe 원자의 농도이다. $x = 0.05$ 와 0.1에 대한 $P(n, x)$ 는 Table I과 같다.

이러한 계산에 근거하여, (1) A-자리에 들어있는 Fe 원자 (2) Fe원자를 최인접 원자로 하나도 갖지 못하는 B-

Table I. The probability $P(n, x)$ for $(6-n)$ Zn ions and n Fe ions to be distributed among the 6 next nearest neighbor A sites of a Fe ion on B site with $x = 0.05$ and 0.1.

n	$P(n, 0.05)$	$P(n, 0.1)$
0	0.735	0.531
1	0.232	0.354
2	0.031	0.098
3	0.002	0.016
4	0.000	0.001
5	0.000	0.000
6	0.000	0.000

Table II. Some of the results obtained in least-squares fit of 3 sets of six line patterns to the Mössbauer spectrum of ZnFe_2O_4 at 12 K.

Site	H (kOe)	ΔEQ (mm/s)	IS (mm/s)	Γ (mm/s)	Intensity (Exp.)	Intensity ($x=0.1$ in Table I)
A	502	0.01	0.48	0.61	0.21	0.05(+0.11)*
B($n=1$)	502	-0.02	0.49	1.04	0.34	0.34
B($n=0$)	353	0.02	0.52	3.16	0.45	0.50

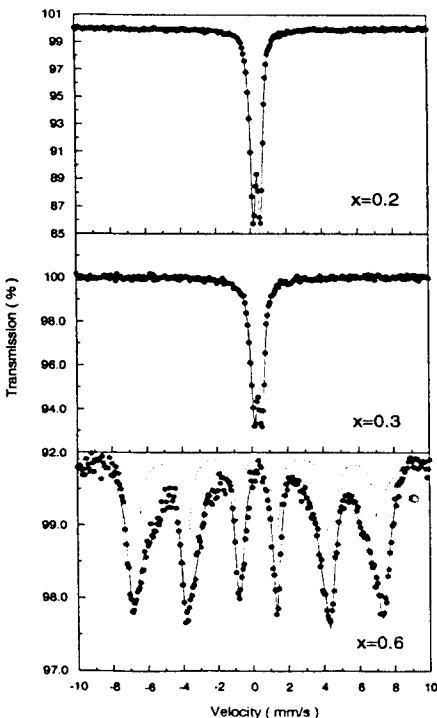
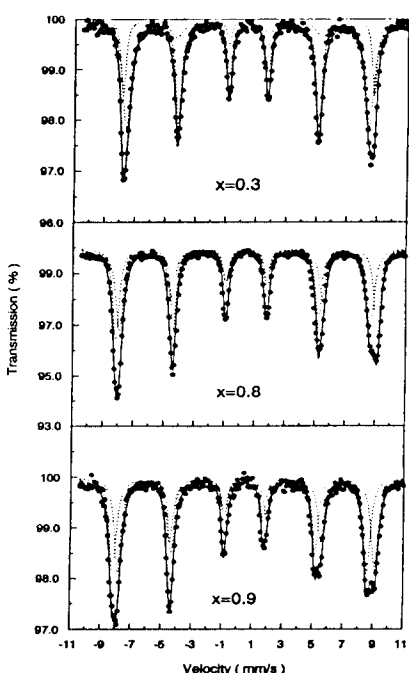
*(+0.11) is the intensity corresponding to B site ($n \geq 2$). Linewidths (Γ) are the weighted average values for each lines. IS is relative to iron metal.

자리의 Fe원자 ($n=0$) (3) Fe원자 1개를 최인접 원자로 갖는 B-자리의 Fe원자 ($n=1$)의 3가지 경우에 대한 Fe원자 ($n=2$ 이상의 경우는 (1)의 경우와 구별이 불가능함)에 대응하는 3쌍의 6-Lorentzian으로 실험 data에 맞추었다. 이때 각 쌍의 세기에는 분말시료에 대한 제하인 $I_1 : I_2 : I_3 = 3 : 2 : 1$ 과 다음의 구속조건을 사용하였다.

$$I_{j,i} = I_{j,7-i} \text{ for intensity :}$$

$$\Gamma_{j,i} = \Gamma_{j,7-i} \text{ for linewidth } \quad (4)$$

여기서 j 는 각 쌍에 대한 것이고 i 는 1, 2, 3이다. 그림에서 점선은 각 쌍에 대한 6-Lorentzian이고 실선은 3쌍의 합을 나타낸 것이다. 분석된 결과는 Table II와 같다. 그림에서와 같이 B-자리 ($n=0$)에 대응하는 6-Lorentzian

Fig. 5. Mössbauer spectra of $\text{Cu}_x\text{Zn}_{1-x}\text{Fe}_2\text{O}_4$ at R.T.Fig. 6. Mössbauer spectra of $\text{Cu}_x\text{Zn}_{1-x}\text{Fe}_2\text{O}_4$ at 12 K.

의 심한 완화현상을 볼 수 있다. 이것은 B-O-B 상호작용이 A-O-B 상호작용에 비하여 매우 약한 결과로 해석되고 Néel 온도(33 K)에 비교되는 온도의 결과이다. Table II에는 3쌍의 6-Lorentzian으로 맞춘 결과를 나타낸 것이다. 각 쌍의 상태적 세기가 중성자회절의 경우($x = 0.05$)와는 달리 이온분포($\text{Zn}_{1-x}\text{Fe}_x$)_A[$\text{Zn}_x\text{Fe}_{2-x}$]_B O_4 ; $x = 0.1$ 에 일치하는 결과를 얻었다.

Fig. 5와 Fig. 6에는 $\text{Cu}_x\text{Zn}_{1-x}\text{Fe}_2\text{O}_4$ 의 Mössbauer spectrum 중 대표적인 몇개를 전시하였다. Fig. 5의 $x = 0.2, 0.3$ 은 오직 한쌍의 quadrupole doublet만 나타나므로 Curie 온도이상에서의 spectrum이고 A-와 B-자리에 들어있는 Fe원자의 비율을 결정할 수 없다. 그러나 Fig. 6에서 볼 수 있는 것처럼 저온에서는 A와 B-자리에 들어있는 Fe원자에 의한 두쌍의 magnetic sextets로 나타난다. 그림에서 점선은 A-와 B-자리에 들어있는 Fe원자에 의한 두쌍의 magnetic sextets로 나타난다. 그림에서 점선은 A-와 B-자리의 subspectra이고 data점 위의 실선은 이들 subspectrum의 합성이다. 이들 subspectrum의 상태적 세기로 부터 A-와 B-자리에 들어있는 Fe원자의 비율을 다음과 같이 쓸 수 있다.

$$(\text{M}_{1-x}^{2+} \text{Fe}_x^{3+})_A [\text{M}_x^{2+} \text{Fe}_{2-x}^{3+}]_B \text{O}_4 \quad \text{for } M = \text{Zn \& Cu}$$

$$\frac{x}{2} = \frac{I_A / f_A}{I_A / f_A + I_B / f_B} = \frac{I_A}{I_A + I_B} \quad (5)$$

여기서 I_A 와 I_B 는 A-와 B-subspectrum의 세기이고 recoil-free fraction f_A 와 f_B 는 온도만의 함수이므로 12 K에서 $f_A = f_B$ 이다[13]. 위의식을 사용하여, Cu의 농도에 따른 총세기에 대한 A-subspectrum 세기의 상태적 비율을 Fig. 7에 나타내었다. 전체 Fe원자중에서 사면체자리에 들어있는 Fe원자의 비율을 나타낸 것이다.

Fig. 8은 12 K에서 A-와 B-자리의 초미세 자기장을 나타낸 것이다. Cu의 농도 x 가 증가함에 따라 초미세 자기장이 $x = 0.1$ 에서 감소하였다가 증가함을 알 수 있다. 이와 같은 특이 현상을 Fe원자의 분포상태인 Fig. 7과 비교하여 다음과 같이 설명할 수 있다.

$x = 0\%$ ZnFe_2O_4 의 이온분포($\text{Zn}_{0.9}\text{Fe}_{0.1}$)_A[$\text{Zn}_{0.1}$ $\text{Fe}_{1.9}$]_B O_4 에서 Cu의 농도 x 가 증가하면 먼저 B-자리의 Zn원자가 Cu원자로 대치되어 $x = 0.1$ 에서 ($\text{Zn}_{0.9}\text{Fe}_{0.1}$)_A[$\text{Cu}_{0.1}\text{Fe}_{1.9}$]_B O_4 로 된다. $x = 0.2$ 이상에서 Cu원자는 모두 B-자리에만 들어가고 $\text{Cu}_x\text{Zn}_{1-x}\text{Fe}_2\text{O}_4$ 의 대량적인 이온분포는

$$(\text{Zn}_{1-x}^{2+} \text{Fe}_x^{3+})_A [\text{Cu}_x^{2+} \text{Fe}_{2-x}^{3+}]_B \text{O}_4 \quad \text{for } 0.1 \leq x \leq 1 \quad (6)$$

이다. 따라서 $x = 0.1$ 과 0.2 에서의 $A(Fe) - O - B(Cu)$ 상호작용이 $A(Fe) - O - B(Fe)$ 상호작용과 상쇄되거나 $B(Fe) - O - B(Cu)$ 상호작용과 비슷한 크기임을 알 수 있다.

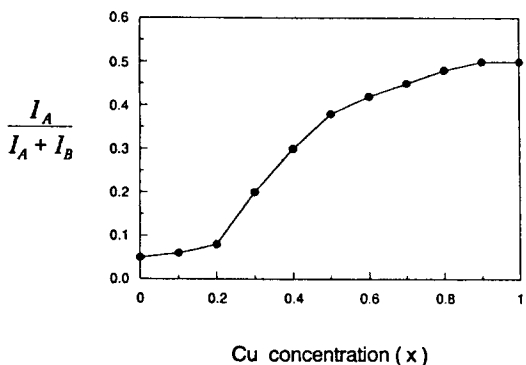


Fig. 7. Intensity ratios of A-subspectrum to total absorption.

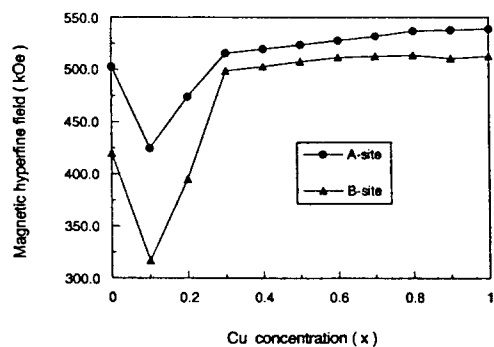


Fig. 8. Magnetic hyperfine fields of $Cu_xZn_{1-x}Fe_2O_4$ at 12 K.

참고문헌

- [1] C.M. Srivastava, G.Srinivasan, and N.G. Nanadikar, Phys. Rev. B **19**, 499(1979); J.M. Daniels and A. Rosencwaig, Canadian J. Phys. **48**, 381(1970).
- [2] L.K. Leung, B.J. Evans, and A.H. Morrish, Phys. Rev. B **8**, 29(1973).
- [3] C.S.Lee and W.G. Kim, J.Korean Phys. Soc. **22**, 57(1989).
- [4] F. Grandjean and A. Gerard, Solid State Commun. **25**, 57(1989).
- [5] G.J. Baldha, S.N. Rao, and R.G. Kulkarni, J. Mater. Sci.Lett. **4**, 1536(1985).
- [6] G.J. Baldha and R.G. Kulkarni, Solid State Commun. **49**, 169(1984).
- [7] V.U. Patil and R.G. Kulkarni, Solid State Commun. **31**, 551(1979).
- [8] B.J. Evans, S.S. Hafner, and H.P. Weber, J. Chem. Phys. **55**, 5282(1971).
- [9] J.B. Nelson and D.P. Riley, Proc. Phys. Soc. London **57**, 160(1945).
- [10] R.W.G. Wyckoff, *Crystal Structure* (Wiley-Interscience, New York, 1964) Vol. III, p.85.
- [11] K. Ohbayashi and S. Iida, J. Phys. Soc. Japan **23**, 776(1967).
- [12] M.K.Fayek, J.Leciejewicz, A.Murasik, and I. I. Yamzin, Phys. Stat. Sol. **37**, 843(1970).
- [13] J. Heberle, In *Mössbauer Effect Methodology*, edited by I.J. Fruvermann(Plenum, New York, 1971), Vol. 7, p.299.

Magnetic Properties of Cu-Zn Ferrites

C. S. Lee and C. Y. Lee

Department of Physics, National Fisheries University, Pusan 608-737, KOREA

C. S. Kim and S. H. Ji

Department of Physics, Kookmin University, Seoul 136-702, KOREA

(Received 12 February 1993)

The cationic distributions and magnetic properties of $Cu_xZn_{1-x}Fe_2O_4$ ($0 \leq x \leq 1$) have been studied by X-ray diffraction and Mössbauer spectroscopy. The crystal structures are cubic spinels in the range $0 \leq x \leq 0.9$. The ionic distribution of $ZnFe_2Zn_{1-x}Fe_x$ A $[Zn_xFe_{2-x}]B$ O₄, where $x = 0.1$. The distribution of Fe^{3+} ions was extracted from the Mössbauer spectra below Curie temperature in the whole range $0 \leq x \leq 1$. The number of Fe^{3+} ions in the tetrahedral sites and Curie temperature of Cu-Zn ferrite increase with increasing Cu-concentration.